

طراحی و پیاده سازی سامانه تصمیم گیری مکانی

جهت تعیین مناطق مطلوب کاربر از لحاظ زبری

رضا آقا طاهر^۱

زهرا بهاری سبهرودی^۱

محسن جعفری^۲

تاریخ پذیرش مقاله: ۹۵/۱۰/۰۸

تاریخ دریافت مقاله: ۹۵/۰۲/۰۳

چکیده

زبری زمین متغیر مهمی است که در علوم نجوم و زمین استفاده می‌شود. تعریف منحصر به فردی برای آن وجود ندارد. آن را می‌توان متغیری جهت بیان تغییرپذیری سطح زمین در یک مقیاس معین تعریف نمود. محاسبه‌ی زبری از اهمیت زیادی برخوردار است و مبنای بسیاری از تصمیم‌گیری‌ها می‌باشد. بررسی کیفی قسمت‌های مختلف یک محدوده‌ای از زمین از نظر زبری و تغییرات ارتفاعی با در نظر گرفتن تمامی جوانب، نیازمند پردازش‌ها و مقایسه‌های متفاوتی می‌باشد، از طرف دیگر حجم این پردازش‌ها بسیار بالا و زمان بر است. در مقاله حاضر یک سامانه تصمیم گیری مکانی جهت تعیین خودکار نواحی مطلوب کاربر و بررسی همه جانبه‌ی منطقه مورد نظر با استفاده از داده‌های مدل ارتفاعی رقومی، طراحی و پیاده‌سازی گردید. شاخص‌های مورد استفاده جهت محاسبه‌ی زبری هر منطقه در این سامانه، عبارتند از: سیگما تی، سیگمازد و هندسه فرکتالی. در توسعه این سامانه از تلفیق شاخص‌های نامبرده با روش‌های مبتنی بر سامانه حامی تصمیم گیری مکانی استفاده گردید. این سامانه اطلاعات آماری مربوط به پنج‌های^۱ متعدد در محدوده تعیین شده از مدل ارتفاعی رقومی مورد نظر را استخراج کرده و با رتبه‌بندی و کلاسه‌بندی پنج‌ها براساس معیارهای تعیین شده، به انتخاب پنج‌های مورد نظر کمک فراوانی می‌کند. این سامانه برای محدوده‌های متفاوتی از ایران تست و قابلیت‌های آن مورد ارزیابی قرار گرفت.

واژه‌های کلیدی: زبری، تحلیل‌های مکانی، سامانه حامی تصمیم گیری، رتبه‌بندی، کلاسه‌بندی.

۱- دانشجوی دکتری سیستم اطلاعات مکانی، دانشکده عمران و نقشه برداری دانشگاه صنعتی خواجه نصیر الدین طوسی (نویسنده مسئول) z.babari@gmail.com

۲- دانشجوی دکتری سیستم اطلاعات مکانی، دانشگاه آزاد اسلامی واحد تهران جنوب Reza_Aghataher@yahoo.com

۳- کارشناس ارشد سیستم اطلاعات مکانی، دانشکده عمران و نقشه برداری دانشگاه صنعتی خواجه نصیر الدین طوسی

۴- در این مقاله پنج عبارت است از تکه‌هایی از زمین که مشخصات آماری مربوط به آنها استخراج می‌شود و می‌تواند ابعاد متفاوتی داشته باشد.

با استفاده از محاسبه‌ی انحراف معیار شبیه هر سلول و

همسایگی‌های آن ارائه می‌دهند (Frankel et al, 2007). Haneberg در پژوهه دیگری از انحراف معیار توپوگرافی باقیمانده‌ها جهت برآورد زبری استفاده نموده است (Haneberg, 2005).

الگوریتم‌های دیگری نیز وجود دارد که زبری را با استفاده از داده‌های point-cloud محاسبه می‌کنند. به عنوان مثال در مقاله‌ای داده‌های point-cloud به شبکه‌ای از مربعات تقسیم و کمترین ارتفاع را برای هر مریع شناسایی شده است، سپس با استفاده از درونیابی thin-plate spline از مقادیر حداقلی که به دست آمده، ارتفاع هر نقطه از سطح را برآورد در نهایت مقدار زبری را انحراف معیار اختلافات در نظر گرفته شده است (Glenn et al, 2006). در پژوهه دیگری زبری

زمین از ابر نقطه‌ای سه بعدی با استفاده از رگرسیون فاصله اورتوگونال و برازش صفحه مرجع محلی به سلول‌های گردید سه بعدی برآورد گردیده است (Pollyea, 2011).

در مقاله‌ی دیگری شش روش جهت محاسبه‌ی زبری بررسی شده و در نهایت انحراف معیار شبیه، به علت سهولت محاسبات، بررسی پستی و بلندی‌های منطقه‌ای و قابلیت تنوع در مقیاس مؤثرترین روش عنوان گردیده است. همچنین در این مقاله روش نمایش برداری و انحراف معیار انجنا به علت توانایی نمایش عوارض زمینی پیشنهاد گردیده و روش area ratio به علت عدم تشخیص تغییرات سطح زمین در اثر عوامل طبیعی در مناطق با پستی و بلندی کم، رد شده است (Grohmannet al, 2011).

در مقاله‌ی دیگری سه روش جهت محاسبه‌ی زبری شرح داده شده است. سیگماتی، شاخص زبری، فرکتال. طبق بررسی‌های انجام شده در این مقاله سیگماتی که انحراف معیار ارتفاع زمین را نشان می‌دهد، شاخص مناسبی جهت تعیین زبری نیست. به علت اینکه زمین صافی که در یک شبی قرار دارد می‌تواند انحراف معیار بزرگی داشته باشد. برخلاف سیگماتی، هندسه فرکتالی مستقل از مقیاس است.

۱- مقدمه

زبری زمین نمایشی از نوسان سطح زمین می‌باشد و آن را می‌توان پیچیدگی زمین نامید (Wilson, 2012). محاسبه‌ی زبری از اهمیت زیادی برخوردار است و مبنای بسیاری از تصمیم‌گیری‌ها می‌باشد. جهت محاسبه زبری راه حل‌های متفاوتی وجود دارد.

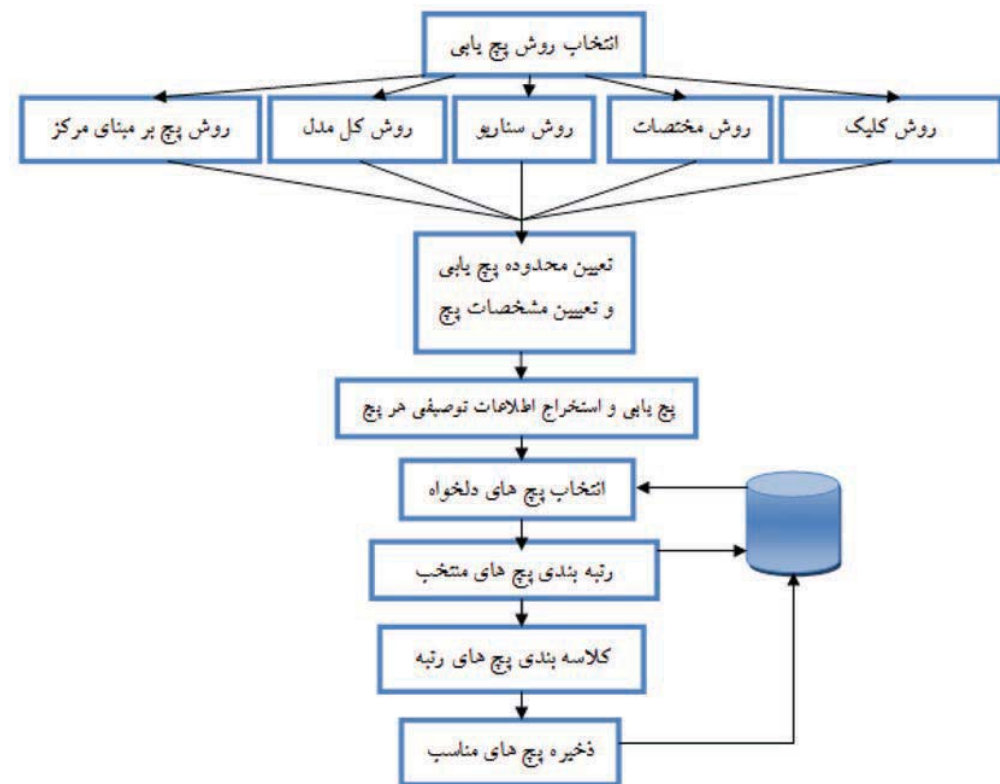
اولین تشریح از زبری را کوپرز ارائه نمود که در آن، سطح زبری به صورت مجموعه‌ای از نقاط تصور می‌شود (kupers, 1957). مطابق این تعریف انحراف از معیار ارتفاع نقطه‌ها به عنوان شاخص زبری در نظر گرفته شده است. رومکنزروانگ پستی و بلندی‌های کوچک را بر اساس فراوانی و مساحت اشغال نموده در سطح معرفی نمود (Fataleet al, 1994).

صالح نیز روش کاربرد زنجیر را برای اندازه‌گیری زبری ردیفی سطح زمین پیشنهاد نمود (Saleh, 1993). وی با اندازه‌گیری زبری سطح خاک با این روش و مقایسه آن با نتایج دستگاه اسکن زبری لیزری، نشان داد که همیستگی بسیار معنی داری بین نتایج این دو روش وجود دارد. در این روش بر اساس نسبت تغییر طول زنجیر در دو حالت طول واقعی زنجیر و تصویر افقی زنجیر قرار گرفته بر سطح زبری مقایسه شده و مقدار شاخص زبری آن برآورد می‌گردد.

آلمارس و همکاران مفهوم ارائه شده کوپرز را به عنوان شاخص زبری تصادفی معرفی نمودند. بنا به تعریف، زبری تصادفی، پستی و بلندی ناشی از استقرار کلخه‌ها و خاکدانه‌ها و سایر اجزاء سطح خاک را در بر می‌گیرد و آن بخش از زبری که ناشی از پستی و بلندی ردیف‌های کاشت است، در آن مدنظر نمی‌باشد. به عبارت دیگر زبری در سطح اراضی کشاورزی به دو صورت ردیفی و تصادفی ارائه می‌شود (Allmaraset al, 1996).

یک روش ساده که به وسیله Riley استفاده شد تعیین زبری زمین با برآورد تغییرپذیری ارتفاع یا شبی در همسایگی محل می‌باشد (Riley, 1999).

Frankel and Dolan روشی بر مبنای تغییرات شبی و



نگاره ۱: مدل طراحی شده

از تعیین خودکار قسمت‌هایی از منطقه موردنظر از مدل ارتفاعی رقومی زمین که از لحاظ زبری کیفیت مطلوب و موردنظر کاربر را در آرا می‌باشد، جهت نیل به این هدف نیاز به یک سامانه حامی تصمیم‌گیری مکانی می‌باشد. در اکثر روش‌های گفته شده زبری به عنوان یک متغیر و در یک منطقه محاسبه شده است. ولی هدف این مقاله محاسبه زبری در قسمت‌های مختلف و انتخاب ناحیه مطلوب کاربری در روشن‌های قبلی جهت دستیابی به این هدف متغیر زبری باید در هر محدوده محاسبه شده و این محدوده‌ها یک به یک با هم مقایسه گردند؛ که این فرایندی زمان بر می‌باشد و گاهی دقت مطلوب به دست نمی‌آید. بنابراین نیاز به روشی هست که زمان را کاهش و دقت را افزایش دهد. از اهداف دیگر این مقاله می‌توان به محاسبه زبری در یک سطح اشاره نمود.

(Cherbit et al,1991) شاخص زبری نیز شیوه دیگری است که تغییرات شبیه را در یک پروفیل محاسبه می‌کند ولی جهت محاسبه آن به داده‌های زیادی نیاز است.

تحقيق دیگری زبری را یک متغیر ناهمسانگرد در نظر گرفته است که مقدار آن در جهت‌های مختلف متفاوت می‌باشد و جهت محاسبه آن از اندرس MAD¹ (میانگین اختلافات جهتی مطلق) استفاده نموده است. MAD یک نوع تعدل واریوگرام می‌باشد که به طور ویژه جهت تحلیل ژئومورفومتریک مدل زمینی رقومی با رزو لوشن بالا طراحی شده است (Trevisani,2016).

محاسبه زبری در مناطق وسیع صرفاً از طریق تفسیر ماهواره‌ای امکان‌پذیر می‌باشد. تصاویری که بدین منظور استفاده می‌شود باید از توان تفکیکی قابل توجهی برخوردار باشند (غموری، ۱۳۹۴). هدف اصلی این مقاله عبارت است

$$\sigma_r = \sqrt{\frac{1}{n} * \sum_{i=0}^n (H_i - \bar{H})^2} \quad (1)$$

$$\bar{H} = [\sum_{i=0}^n H_i] / (n) \quad (2)$$

- سیگما زد

این شاخص انحراف معیار تغییرات ارتفاع زمین را نشان می‌دهد و از فرمول زیر محاسبه می‌شود. این شاخص برای تک تک سطراها و ستون‌های یک ماتریس محاسبه شده سپس مقدار مینیمم و ماکزیمم سیگمازد در کل ماتریس استخراج می‌شود.

: ارتفاع نقطه i، D_i : اختلاف ارتفاعات در نقطه n،

؛ تعداد نقاط σ_z ، سیگما زد

$$\sigma_z = \sqrt{\frac{\sum_{i=0}^n (D_i - D)^2}{n-1}} \quad (3)$$

$$D_i = H_i - H_{i+1} \quad (4)$$

$$D = \frac{1}{N-1} \sum_{i=0}^n D_i \quad (5)$$

- هندسه فرکتالی

هندسه فرکتال شاخه‌ای از علم هندسه است که پدیده‌های طبیعی و اجسام پیچیده و نامنظم را مطالعه می‌کند. برخلاف هندسه اقلیدسی که اجسام و پدیده‌های طبیعی را منظم و دارای بعد صحیح در نظر می‌گیرد، هندسه فرکتال برمبنای بعد اعشاری می‌باشد.

این شاخه از هندسه که توانایی بررسی تغییرپذیری متغیرهای پیچیده را دارد جهت محاسبه زیری زمین استفاده می‌شود. در این روش صفحه‌ای به نمونه نقاط ارتفاعی منطبق می‌شود. انحراف معیار منطبق شده محاسبه می‌شود. در این روش از رگرسیون خطی جهت انطباق به صفحه‌ی نقاط استفاده می‌گردد (Sakude, 1998).

$$ax + by + cz + d = 0 \quad (6)$$

$$z = Ax + By + D \text{ when: } A = -a/c,$$

$$B = -b/c, D = -d/c \text{ for } c \neq 0$$

$$z = b * X \quad (7)$$

در این تحقیق روش جدیدی جهت تعیین مناطقی با کیفیت زیری مطلوب کاربر با استفاده از مدل ارتفاعی رقومی ویر پایه‌ی روش فرکتال و سامانه تصمیم‌گیری مکانی توسعه داده شد و سامانه‌ای با ابزارهای قوی جهت برآورد زیری، طراحی و پیاده‌سازی شد و با مدل ارتفاعی رقومی ایران تست گردید. نتایج به دست آمده نشان دهنده دقیق بسیار خوبی است که این روش دارد.

۲- مفاهیم، دیدگاه‌ها و مبانی نظری

عامل زیری در موارد بسیاری کاربرد دارد. به عنوان مثال جهت مطالعه سطح زمین و تهیه نقشه‌های زمین‌شناسی (غموری، ۱۳۹۴)، در سیستم‌های کمک ناوبری پرنده‌های بدون سرنشین، جهت نقشه‌برداری کاریز (Korzeniowska, 2016) در مطالعات مهندسی رودخانه (شریفی، ۱۳۹۵) و بسیاری از موارد دیگر.

در تحقیق حاضر، جهت تعیین مناطق مطلوب کاربر از نظر زیری از چندین روش برای محاسبه زیری استفاده گردید. از جمله سیگماتی، سیگما زد، هندسه فرکتالی و روش توسعه یافته‌ی هندسه فرکتالی. در ادامه، این روش‌ها به تفصیل توضیح داده می‌شود. همچنین از تحلیل‌های مکانی و سامانه حامی تصمیم‌گیری مکانی برای رتبه‌بندی نیز استفاده گردید که روش‌های به کاربرده شده در قسمت پیاده سازی توضیح داده شده است. در نگاره ۱ مراحل مختلف مدل پیشنهادی نمایش داده شده است.

۱-۲- معرفی شاخص‌های زیری اندازه‌گیری شده در تحقیق حاضر

- سیگما-تی

این شاخص انحراف معیار ارتفاع زمین می‌باشد و از فرمول زیر محاسبه می‌گردد. این شاخص برای تک سطراها و ستون‌های یک ماتریس محاسبه شده سپس مقدار مینیمم و ماکزیمم سیگما تی در کل ماتریس استخراج می‌شود.

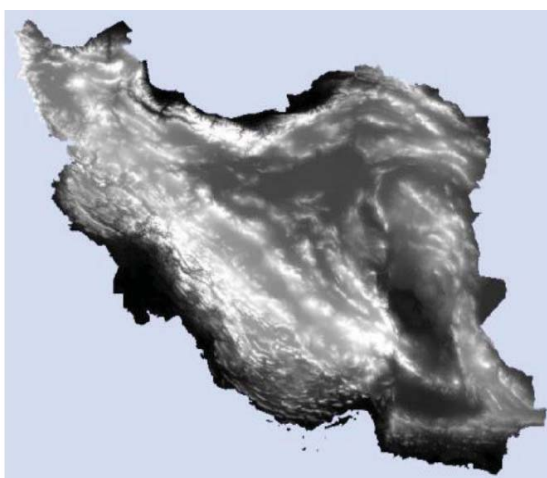
: ارتفاع نقطه i، H_i : میانگین ارتفاعات، n: تعداد نقاط، σ_r سیگماتی

۳- بحث

سامانه در محیط visual studio و با استفاده از زبان C# و کتابخانه arcengine پیاده سازی گردید. این سامانه شامل چندین قسمت می‌باشد. اولین قسمت: تعیین منطقه‌ای است که می‌خواهیم زیری آن را تعیین کنیم. دومین بخش استخراج پچ‌های آن منطقه است، قسمت سوم که پس از استخراج عوارض مکانی و اطلاعات توصیفی هر پچ انجام می‌گیرد، مشابه فیلتری است که بر مبنای روش‌های موجود محاسبه‌ی زیری می‌باشد. قسمت چهارم رتبه بندی این پچ‌ها و قسمت پنجم کلاسه بندی آنها می‌باشد. در ادامه این مرحله به تفصیل توضیح داده می‌شود.

۳- داده‌های مورد استفاده

سامانه به گونه‌ای طراحی گردید که از مدل ارتفاعی رقومی هر ناحیه با هر دقیقی می‌توان استفاده نمود. در این پژوهش از مدل ارتفاعی رقومی ۹۰ متر ایران (نگاره ۳) و همچنین لایه رستری شبیه آن (در محیط ArcGIS تولید شد) استفاده گردید. جهت نمایش از نقشه‌های Google maps استفاده گردید.



نگاره ۳: مدل ارتفاعی رقومی ایران

۴- روش مورد استفاده

اولین مرحله از این مدل تعیین منطقه‌ای است که می‌خواهیم زیری آن را تعیین کنیم. در این پروژه جهت

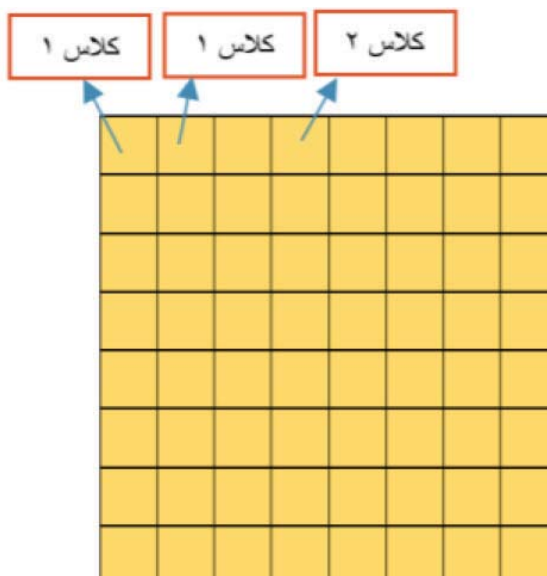
$$b = (X^T X)^{-1} X^T Z$$

$$b = \begin{bmatrix} D \\ A \\ B \end{bmatrix} \quad Z = \begin{bmatrix} z_1 \\ \vdots \\ z_n \end{bmatrix} \quad X = \begin{bmatrix} 1 & x_1 & y_1 \\ \vdots & \vdots & \vdots \\ 1 & x_n & y_n \end{bmatrix} \quad (8)$$

$$MSE = \frac{SSE}{n-3} \quad (9)$$

$$SSE = Z^T Z - b^T X^T Z \quad (10)$$

روش بعدی که روش دقیق‌تری جهت ارزیابی کیفیت زیری است، نمونه برداری به روش گردید می‌باشد. در این روش ابتدا هر پچ با دریافت مقداری از کاربر به زیر پچ‌هایی تقسیم می‌شود. و مقدار زیری از فرمول fd برای هر زیر پچ محاسبه می‌شود. با توجه به مقدار fd و محدوده‌هایی که کاربر برای کلاسه‌بندی وارد کرده، مشخص می‌شود که هر زیر پچ از نظر زیری در کدام کلاس قرار گرفته است. با شمارش تعداد زیر پچ‌هایی قرار گرفته شده در هر کلاس و درصدگیری از آنها، مشخص می‌شود که از نظر زیری هر پچ چه میزان از هر کلاس را در خود دارا می‌باشد. و به این طریق میزان پراکندگی زیری در هر پچ بررسی می‌شود.



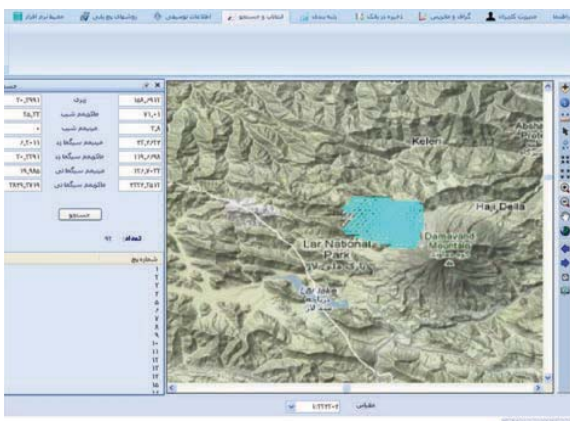
نگاره ۴: زیرپچ‌ها دریک پچ

مکانی نمی‌باشد و یک عارضه فرضی است که برای هر تکه از زمین، جهت استخراج اطلاعات مکانی و توصیفی مربوط به تکه‌های زمین، در نظر گرفته می‌شود.



نگاره ۵: فرم ورود اطلاعات برای استخراج پچ

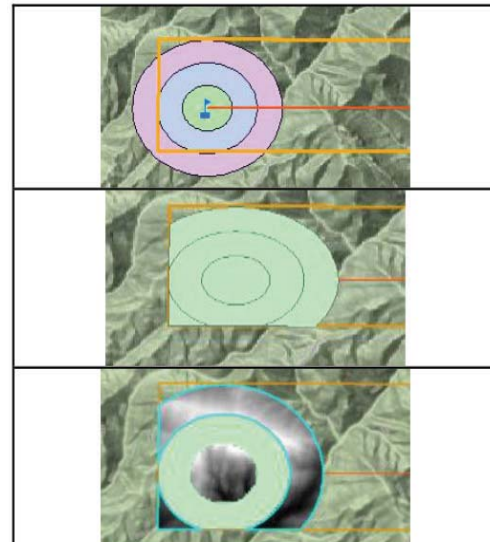
پس از استخراج پچ‌ها و اطلاعات توصیفی مربوط به آنها ابتدا با استفاده از جستجو پچ‌هایی که از نظر مقدار سیگما زد، سیگما تی، فرکتال دایمیشنی که برای هر پچ به صورت کلی محاسبه شد، ارتفاع، شب در محدوده‌ی مناسبی هستند انتخاب می‌شود (نگاره ۶). پچ‌های انتخاب شده وارد مرحله‌ی رتبه بندی می‌شوند (نگاره ۷).



نگاره ۶: انتخاب پچ‌های دلخواه

در مرحله‌ی رتبه بندی هر پچ به زیر پچ‌هایی تقسیم می‌شود و پراکندگی زبری به روشهی که در بالا، نوع چهارم

استخراج منطقه از چندین روش متفاوت استفاده گردید که کامل‌ترین این روش‌ها، روش سناریو می‌باشد. روش سناریو به اینصورت است که کاربر نقطه‌ی ابتداء و انتهای، منطقه‌ی مورد مطالعه و فواصل مورد نظر جهت استخراج را تعیین می‌کند. در روش سناریو جهت استخراج محدوده با پیکسل سایز دلخواه، از آنالیزهای متفاوت استفاده گردید. این آنالیزها عبارتند از intersection, extract by mask برای هر بافری که بخواهیم داخل آن را استخراج کنیم Resample رسترنیز استخراج می‌شود. در نگاره ۴ مراحل کار نمایش داده شده است.



نگاره ۴: استخراج محدوده

برنامه در محدوده تعیین شده، شروع به استخراج پچ‌هایی با خصوصیات وارد شده توسط کاربر می‌کند (نگاره ۵) فرم مربوط به ورود این خصوصیات را نشان می‌دهد) و پچ‌هایی را استخراج می‌کند که کاملاً در محیط استخراج شده قرار بگیرد. این پروسه با در نظر گرفتن مینیمم باندینگ باکس محیط و استخراج مقادیر پیکسل‌ها انجام می‌گیرد. همچنین اطلاعات توصیفی مربوط به هر پچ با استفاده از مقادیر ارتفاعی و شب که از مدل ارتفاعی رقومی و شب استخراج می‌شود، محاسبه می‌گردد. در واقع پچ عارضه

وزن‌های داخلی درصد شیب صفر (وزن داخلی وزنی است که به هر معیار در کلاس خاصی تعلق می‌گیرد) ew_1 : وزن خارجی زبری، ew_2 : وزن خارجی درصد شیب ماکریم، ew_3 : وزن خارجی درصد شیب صفر (وزن خارجی وزنی است که به هر معیار تعلق می‌گیرد)

$$A = (fd \times fdw) \times ew1 \quad (11)$$

$$B = (mslo \times msw) \times ew2 \quad (12)$$

$$C = (z_{SLO} \times z_{SW}) \times ew3 \quad (13)$$

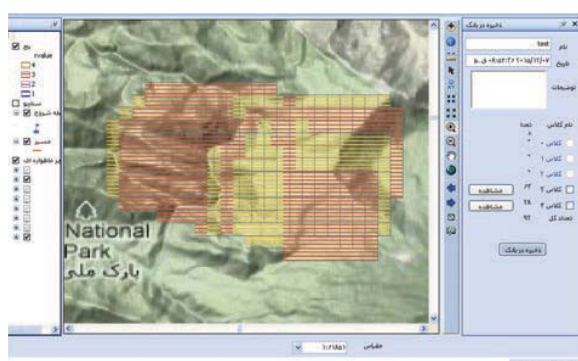
$$Rvalue = A + B + C \quad (14)$$

Rvalue مقداری است بین ۰ تا ۱۰۰ که کیفیت پچ را از نظر زبری نشان می‌دهد. هر چقدر این مقدار بیشتر باشد، کیفیت پچ از نظر زبری بهتر است.

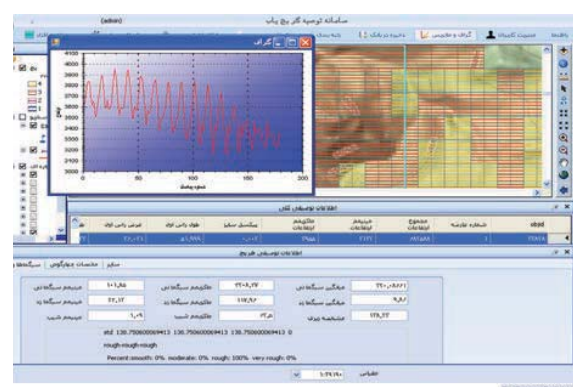
محاسبه زبری، گفته شد محاسبه می‌شود؛ و سه کلاسی که بیشینه‌ی پراکندگی را دارند انتخاب می‌شود. علاوه بر زبری جهت برآوردهتر کیفیت پچ، پراکندگی درصد شیب ماکریزم و درصد شیب صفر نیز با در نظر گرفتن مقدار حد شیب ماکریزم و حد شیب صفر که کاربر وارد می‌کند، محاسبه می‌شود. در محاسبه‌ی این دو مقدار از همان روش محاسبه پراکندگی زبری استفاده می‌گردید؛ و در این دو معیار نیز سه کلاسی که بیشینه‌ی پراکندگی دارند انتخاب می‌شود.



نگاره ۷: فرم ورود اطلاعات رتبه‌بندی پچ‌ها



نگاره ۹: کلاسه‌بندی یچ‌ها



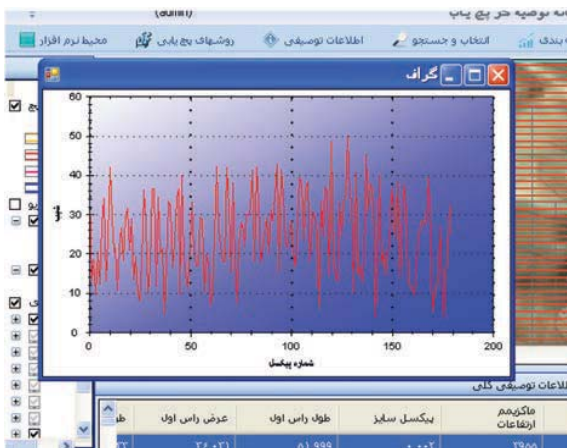
نگاره ۱۰: استخراج گراف ارتفاعی پک پچ



نگاره ۸: فرم کلاسه‌بندی

fd: ماتریس زبری، mslo: ماتریس درصد شیب ماکزیمم، zslo: ماتریس درصد شیب صفر
 fdw: ماتریس وزن‌های داخلی زبری، msw: ماتریس وزن‌های داخلی درصد شیب ماکزیمم، zsw: ماتریس وزن‌های داخلی درصد شیب صفر

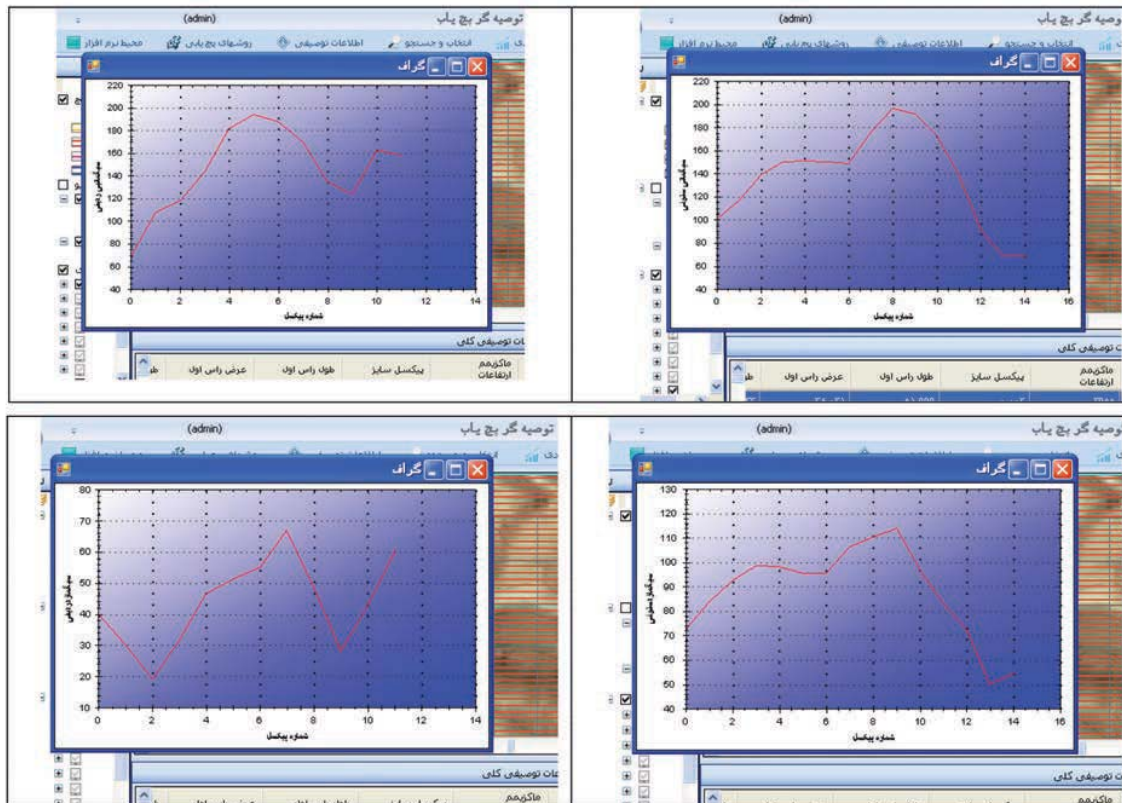
صورت فایل اسکی) هر پچ را استخراج نمود (نگاره ۱۳).



نگاره ۱۱: استخراج گراف شبیه یک پچ

بعد از تخصیص یک مقدار به هر پچ که کیفیت آن را از نظر زبری، درصد شبیه ماکزیم، درصد شبیه صفر مشخص می‌کند، و با توجه به محدوده‌هایی که هر کاربر وارد می‌کند، پچ‌های تولید شده با استفاده از روش equal interval نظر rvalue به ۴ کلاس تقسیم می‌شود (نگاره ۸). و در نتیجه می‌توان به عوارض قرار گرفته شده در هر کلاس دسترسی پیدا کرد و به صورت جداگانه عوارضی که دارای زبری دلخواه می‌باشند را ذخیره نمود (نگاره ۹).

پس از تولید و کلاس‌بندی پچ‌ها، می‌توان گراف‌هایی از پچ‌های تولید شده را مشاهده نمود، این گراف‌ها عبارتند از: ارتفاع (نگاره ۱۰)، شبیه (نگاره ۱۱)، سیگما تی ردیفی، سیگما تی ستونی، سیگما زد ردیفی، سیگما زد ستونی (نگاره ۱۲). همچنین می‌توان ماتریس ارتفاع و شبیه (به



نگاره ۱۲: استخراج گراف سیگماتی و سیگما زد ستونی و ردیفی

فصلنامه علمی - پژوهشی اطلاعات جغرافیایی (GIS)
طراحی و پیاده‌سازی سامانه تصمیم‌گیری مکانی ... / ۱۲۷

ncols	15
nrows	12
xllcorner	51.999241537086
yllcorner	36.0040075770039
cellsize	0.0022060572795606
nodata_value	-9999
3599	3535 3578 3582 3570 3544 3502 3398 3394 3444 3423 3422 3457 3468 3473
3613	3587 3592 3602 3572 3540 3517 3501 3399 3356 3369 3353 3326 3354 3354
3669	3665 3642 3657 3644 3600 3552 3490 3480 3460 3430 3419 3381 3354 3323
3739	3732 3752 3768 3764 3707 3610 3581 3578 3550 3484 3469 3417 3379 3335
3817	3839 3891 3918 3878 3791 3703 3718 3720 3662 3582 3530 3451 3378 3340
3839	3897 3953 3946 3879 3834 3818 3830 3812 3727 3666 3567 3446 3401 3344
3833	3859 3881 3858 3856 3848 3829 3827 3852 3819 3742 3618 3480 3356 3312
3701	3724 3749 3769 3732 3745 3696 3689 3725 3695 3635 3575 3335 3310 3243
3609	3592 3593 3587 3592 3621 3626 3587 3617 3625 3472 3409 3346 3279 3216
3653	3591 3526 3492 3465 3438 3423 3405 3421 3422 3341 3268 3257 3235 3226
3629	3664 3597 3502 3426 3376 3350 3296 3253 3194 3169 3184 3213 3259
ncols	15
nrows	12
xllcorner	51.999241537086
yllcorner	36.0040075770039
cellsize	0.0022060572795606
nodata_value	-9999
35.04145	20.20147 9.697686 21.17096 14.14126 6.984242 18.76262 33.0748 35.25331 38.24549 48.49757 40.
13.16098	21.35766 8.048787 4.562549 11.38691 10.1173 7.574946 17.71634 23.01815 17.97146 17.92926 14.
18.32359	10.60917 17.77234 17.52339 22.08018 24.29529 22.49752 21.27237 21.63859 23.06211 14.67168 16.
9.463411	21.6234 36.266878 33.36414 33.17472 42.29789 27.90412 25.31643 25.11242 30.73069 13.0521 12.
20.46613	26.53052 27.63285 32.18283 20.54789 25.99264 25.87476 29.04609 28.2886 29.11948 33.03592 18.
12.21806	18.1326 9.763512 16.45947 16.96011 22.03831 21.63859 20.1094 20.23293 25.30639 24.34013 45.
27.78545	29.38167 16.54601 22.83874 16.80938 17.99413 29.89541 31.07514 16.6177 6.756094 33.1498 30.
33.97307	31.36536 36.32322 34.38413 29.25899 18.06836 29.74892 28.23494 28.94504 33.42389 35.31459 37.
12.83601	20.65893 36.48047 36.52106 28.70518 41.90932 31.82586 34.03 39.27744 24.54144 50.03909 36.
23.91883	28.75083 11.59006 9.429433 10.27377 31.52993 41.02648 42.68412 37.87379 37.06405 33.96595 23.
41.80355	13.15155 34.27389 39.93914 19.63167 14.96721 17.89345 15.29952 23.39815 35.5391 33.7906 13.7

نگاره ۱۳: استخراج ماتریس ارتفاع و شبیه‌سازی

می‌باشد. گاهی زبری زیاد و گاهی زبری کم مطلوب می‌باشد. حال آنکه روش‌های دیگر فقط مقداری برای زبری یک منطقه محاسبه می‌کنند و باید برای هر قسمت از زمین مقادیر را استخراج کنیم و تحلیل را بر آن اعمال نمائیم و سپس جهت برآورده مطلوبیت آنها را با هم مقایسه کنیم. همچنین در این سامانه می‌توان از چندین روش محاسبه زبری به صورت همزمان استفاده نمود. با توجه به اینکه خوارک این سامانه مدل ارتفاعی رقومی می‌باشد. جهت تعیین زبری منطقه باید مدل ارتفاعی رقومی منطقه مشخص باشد. دقت سامانه کاملاً وابسته به دقت مدل ارتفاعی رقومی می‌باشد و هر چه مدل ارتفاعی رقومی دارای دقت بیشتری باشد دقت داده‌های تولید شده نیز افزایش می‌یابد.

۵- پیشنهادات

جهت بهبود و ادامه این کار ورود متغیر خود همبستگی در محاسبات و بررسی نتایج حاصله پیشنهاد می‌گردد، همچنین در این مقاله مقادیر بدون در نظر گرفتن جهت، در سطح هر پیچ و به صورت ردیفی محاسبه شده است. می‌توان از مدل‌های مختلف برای در نظر گرفتن ترتیب سلول‌ها در هر پیچ استفاده نمود و نتایج را با هم مقایسه نمود.

۴- جمع‌بندی و نتیجه‌گیری
 زبری زمین عبارتی است که جهت توصیف نامنظمی‌های یک منطقه استفاده می‌شود. در اکثر مواقع تعیین زبری زمین بسیار پیچیده است. روش‌های بسیاری برای محاسبه زبری موجود است. روش ارائه شده در این پژوهه ایده‌ی ابتکارانه هست که بر مبنای آنالیزهای مکانی، سیستم حامی تصمیم‌گیری مکانی و روش‌های محاسبه زبری می‌باشد و با استفاده از مدل ارتفاعی رقومی زمین محاسبه می‌شود. نتایج به دست آمده نشان می‌دهد که این روش ابزاری قوی برای محاسبه زبری می‌باشد. این روش به علت دارا بودن قابلیت اسکن پیکسل به پیکسل منطقه دارای دقت زیادی هست و به نظر می‌رسد دقت زیادی دارد که در محدوده‌ی تعیین شده زبری را محاسبه می‌کند. ولی در این مقاله با استفاده از یک سامانه تصمیم‌گیری مکانی و با استفاده از تقسیم منطقه به قسمتهای کوچکتر، مناطق کیفی مطلوب کاربر از نظر زبری تعیین می‌شوند. بنابراین، این روش قابلیت تصمیم‌گیری به صورت خودکار و با توجه به نیاز کاربر را دارد.

کیفیت از لحاظ زبری برای کاربردهای مختلف متفاوت

surface roughness, (2016), , AGILE 2016 – Helsinki, June 14-17.

13- K.L. Frankel, J.F. Dolan, (2007), “Characterizing arid region alluvial fan surface roughness with airborne laser swath mapping digital topographic data”, Journal of Geophysical Research, vol. 112, pp. 1-14.

14- kupers,H, 1957 , a relief meter for cultivation studies. neth.j.agric.sci.5:255-262.

15- L. Fatale, J. R. Ackeret R. and J. Messmore, (1994), “Impact of Digital Terrain Elevation Data (DTED) Resolution on Army Applications: Simulation Vs. Reality”, Proceeding of American Congress on Surveying and Mapping American Society for Photogrammetry and Remote Sensing.

16- M. Berti, A. Corsini, A. Daehne, (2013), “Comparative analysis of surface roughness algorithms for the identification of active landslides”, Geomorphology, vol. 182, pp. 1-18.

17- N.F. Glenn, D.R. Streutker, D.J. Chadwick, G.D. Thackray, (2006), “Analysis of LiDAR-derived topographic information for characterizing and differentiating landslide morphology and activity”, Geomorphology, vol. 73, pp. 131-148.

18- R.M. Pollyea, J.P. Fairley, (2011), “Estimating surface roughness of terrestrial laser scan data using orthogonal distance regression”, Geology, vol. 39, pp. 623-626.

19- Romkens,r.j.m and j.y.wang, (1986),effect of tillage on surface roughness.trans.asae 24(2):429-433.

20- Sakude,M., Schiavone(1998), G., Recent Advances on Terrain Database Correlation Testing, Proceedings of SPIE,364-376.

21- Saleh,A, (1993), Soil roughness measurement :chain method . J. Soil and Water Conserv. 48(6):527-529.

22- Sebastiano Trevisani,(2016), Topography-based flow-directional roughness: potentialand challenges, Earth Surf. Dynam., 4, 343–358.

23- S.J. Riley, S.D. De Gloria, R. Elliot, (1999), “A Terrain Ruggedness Index That Quantifies Topographic Heterogeneity”, Intermountain Journal of Sciences, vol. 5, no. (1-4), pp. 23-27.

24- W.C. Haneberg, A.L. Creighton, E.W. Medley, D.A., Jonas, (2005), “Use of LiDAR to assess slope hazards at the Lihir gold mine, Papua New Guinea”, in: Proceeding,International Conference on Landslide Risk Management, Vancouver, British Columbia, Supplementary CD.

۶- منابع و مأخذ

- ۱- شریفی، ف، صمدی، ا، عزیزان، ا، (۱۳۹۵)، ارزیابی عملکرد روش پردازش تصویر در تخمین ضربی زبری مانینگ در لایه سطحی بستر رودخانه‌ها، تحقیقات آب و خاک ایران، دوره ۴۷، شماره ۴، ص ۷۱۱-۷۲۲
- ۲- غفوری، ع، (۱۳۹۴)، ارتقاء دقت در تهیه نقشه‌های زمین‌شناسی با استفاده از اطلاعات مورفوژوئی سرسازنده‌ها از طریق محاسبه‌ی زبری سطح در سنجهش از دور ماکروویو، ماهنامه علمی- ترویجی اکتشاف و تولید نفت و گاز، شماره ۱۲۵
- 3- Allmaras R. R, R. E. Burwell, W .E.Larson and R. F . Holt. (1996). Total porosity and random roughness of inter rowzone as influenced by tillage. USDA Conserv. Res. Rep. 7 .U. S. Gov . Print Office ,Washington DC.
- 4- A.M. Booth, J.J. Roering, J.T. Perron, (2009), “Automated landslide mapping using spectral analysis and high-resolution topographic data: Puget Sound lowlands, Washington, and Portland Hills, Oregon”, Geomorphology, vol. 109, pp. 132-147.
- 5- C.H. Grohmann, M.J. Smith, C. Riccomini,(2011), “Multiscale Analysis of Topographic Surface Roughness in the Midland Valley, Scotland”, IEEE Trans. On Geosci. Remote Sens., vol. 49, no. 4, pp. 1200- 1213.
- 6- Garcia Moreno, R., M. C. Diaz A. Ivarez,A. M. Tarquis, A.PazGonzalez A. SaaRequejo,(2010). Shadow analysis of soil surface roughness compared to the chain set method and direct measurement of micro-relief. Biogeosci. Dis. 7:1021-1055.
- 7- G. Cherbit,(1991), Fractals Non-integral Dimensions and Applications, John Willey & Sons, Chichester.
- 8- Grohmann,CH.,Smith,M.J.andRiccomini, C, (2011), Multiscale Analysis of Topographic Surface Roughness in the Midland Valley, Scotland, IEEE TRANSACTIONS ON GEOSCIENCE AND REMOTE SENSING.
- 9- J. R. Ackeret, Digital Terrain Elevation Data Resolution and Requirements Study. Interim Report ETL-SR-6, U.S. Army Corps of Engineers, Nov. 1990.
- 10-John P. Wilson,2012, Geomorphology, ScienceDirect.
- 11- J. McKean, J. Roering, 2004,“Objective landslide detection and surface morphology mapping using high-resolution airborne laser altimetry”, Geomorphology, vol. 57, pp. 331-351.
- 12- K, Korzeniowska.Mapping gullies using terrain-